

Starkniederschlagshöhen und -spenden gemäß KOSTRA-DWD-2010R

Auswertungszeitraum von 1951 - 2010, Januar - Dezember

Rasterfeld: 25049

Zeile: 25

Spalte: 49

Seite: 1/2

| Dauerstufe D | | Wiederkehrzeit T | | | | | | | | | | | | | | | | | |
|--------------|-----|------------------|------------|------|------------|------|------------|------|------------|------|------------|------|------------|------|------------|------|------------|-------|------------|
| | | 1 a | | 2 a | | 3 a | | 5 a | | 10 a | | 20 a | | 30 a | | 50 a | | 100 a | |
| min | Std | mm | l / (s ha) | mm | l / (s ha) | mm | l / (s ha) | mm | l / (s ha) | mm | l / (s ha) | mm | l / (s ha) | mm | l / (s ha) | mm | l / (s ha) | mm | l / (s ha) |
| 5 | | 4,7 | 156,7 | 6,0 | 200,0 | 6,8 | 226,7 | 7,7 | 256,7 | 9,1 | 303,3 | 10,4 | 346,7 | 11,2 | 373,3 | 12,1 | 403,3 | 13,5 | 450,0 |
| 10 | | 7,4 | 123,3 | 9,2 | 153,3 | 10,3 | 171,7 | 11,7 | 195,0 | 13,5 | 225,0 | 15,4 | 256,7 | 16,5 | 275,0 | 17,9 | 298,3 | 19,7 | 328,3 |
| 15 | | 9,1 | 101,1 | 11,4 | 126,7 | 12,7 | 141,1 | 14,4 | 160,0 | 16,6 | 184,4 | 18,9 | 210,0 | 20,3 | 225,6 | 21,9 | 243,3 | 24,2 | 268,9 |
| 20 | | 10,3 | 85,8 | 12,9 | 107,5 | 14,5 | 120,8 | 16,4 | 136,7 | 19,0 | 158,3 | 21,6 | 180,0 | 23,2 | 193,3 | 25,1 | 209,2 | 27,7 | 230,8 |
| 30 | | 11,9 | 66,1 | 15,1 | 83,9 | 17,0 | 94,4 | 19,3 | 107,2 | 22,5 | 125,0 | 25,7 | 142,8 | 27,6 | 153,3 | 30,0 | 166,7 | 33,2 | 184,4 |
| 45 | | 13,3 | 49,3 | 17,2 | 63,7 | 19,5 | 72,2 | 22,4 | 83,0 | 26,3 | 97,4 | 30,2 | 111,9 | 32,5 | 120,4 | 35,3 | 130,7 | 39,2 | 145,2 |
| 60 | | 14,1 | 39,2 | 18,6 | 51,7 | 21,2 | 58,9 | 24,5 | 68,1 | 29,0 | 80,6 | 33,6 | 93,3 | 36,2 | 100,6 | 39,5 | 109,7 | 44,0 | 122,2 |
| 90 | | 15,4 | 28,5 | 20,3 | 37,6 | 23,1 | 42,8 | 26,7 | 49,4 | 31,6 | 58,5 | 36,5 | 67,6 | 39,4 | 73,0 | 43,0 | 79,6 | 47,9 | 88,7 |
| 120 | 2 | 16,4 | 22,8 | 21,6 | 30,0 | 24,6 | 34,2 | 28,4 | 39,4 | 33,6 | 46,7 | 38,8 | 53,9 | 41,8 | 58,1 | 45,6 | 63,3 | 50,8 | 70,6 |
| 180 | 3 | 17,9 | 16,6 | 23,5 | 21,8 | 26,8 | 24,8 | 31,0 | 28,7 | 36,6 | 33,9 | 42,2 | 39,1 | 45,5 | 42,1 | 49,7 | 46,0 | 55,3 | 51,2 |
| 240 | 4 | 19,0 | 13,2 | 25,0 | 17,4 | 28,5 | 19,8 | 32,9 | 22,8 | 38,9 | 27,0 | 44,8 | 31,1 | 48,3 | 33,5 | 52,7 | 36,6 | 58,7 | 40,8 |
| 360 | 6 | 20,8 | 9,6 | 27,3 | 12,6 | 31,1 | 14,4 | 35,8 | 16,6 | 42,3 | 19,6 | 48,8 | 22,6 | 52,6 | 24,4 | 57,4 | 26,6 | 63,9 | 29,6 |
| 540 | 9 | 22,7 | 7,0 | 29,8 | 9,2 | 33,9 | 10,5 | 39,1 | 12,1 | 46,1 | 14,2 | 53,1 | 16,4 | 57,3 | 17,7 | 62,4 | 19,3 | 69,5 | 21,5 |
| 720 | 12 | 24,2 | 5,6 | 31,6 | 7,3 | 36,0 | 8,3 | 41,5 | 9,6 | 49,0 | 11,3 | 56,4 | 13,1 | 60,8 | 14,1 | 66,3 | 15,3 | 73,8 | 17,1 |
| 1080 | 18 | 26,4 | 4,1 | 34,5 | 5,3 | 39,2 | 6,0 | 45,2 | 7,0 | 53,3 | 8,2 | 61,4 | 9,5 | 66,2 | 10,2 | 72,1 | 11,1 | 80,3 | 12,4 |
| 1440 | 24 | 28,1 | 3,3 | 36,7 | 4,2 | 41,7 | 4,8 | 48,1 | 5,6 | 56,6 | 6,6 | 65,2 | 7,5 | 70,3 | 8,1 | 76,6 | 8,9 | 85,2 | 9,9 |
| 2880 | 48 | 34,2 | 2,0 | 43,1 | 2,5 | 48,3 | 2,8 | 54,9 | 3,2 | 63,9 | 3,7 | 72,8 | 4,2 | 78,1 | 4,5 | 84,7 | 4,9 | 93,6 | 5,4 |
| 4320 | 72 | 38,3 | 1,5 | 47,5 | 1,8 | 52,8 | 2,0 | 59,5 | 2,3 | 68,7 | 2,7 | 77,9 | 3,0 | 83,2 | 3,2 | 89,9 | 3,5 | 99,1 | 3,8 |

Angaben in mm: Bemessungsniederschlagswerte h(n)

Angaben in l / (s ha): Regenspende R(n) mit $R(n) = h(n) \times 1,666667 / D[\text{min}]$

Toleranzbereiche:

+/- 10 % für $1 a \leq T \leq 5 a$

+/- 15 % für $5 a < T \leq 50 a$

+/- 20 % für $50 a < T \leq 100 a$

Datenbasis: KOSTRA-DWD-2010R des Deutschen Wetterdienstes. Die Regenspende wurde auf Basis des Bemessungsniederschlags zur jeweiligen Andauer berechnet.

Für die Richtigkeit und Aktualität der Angaben wird keine Gewähr übernommen. Erstellt 07/2022.

Starkniederschlagshöhen und -spenden gemäß KOSTRA-DWD-2010R

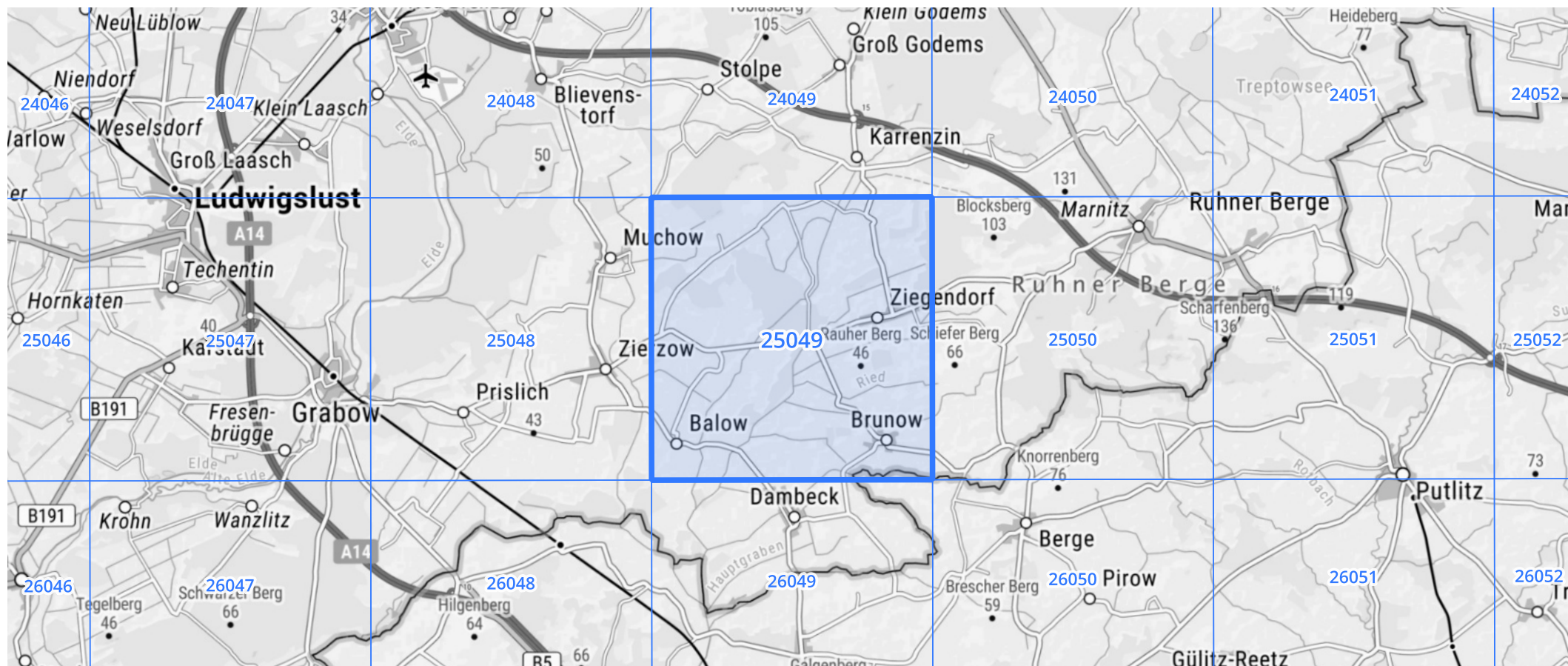
Auswertungszeitraum von 1951 - 2010, Januar - Dezember

Rasterfeld: 25049

Zeile: 25

Spalte: 49

Seite: 2/2



Quelle Rasterdaten: KOSTRA-DWD-2010R des Deutschen Wetterdienstes.

Kartendarstellung: © Bundesamt für Kartographie und Geodäsie (2022), Datenquellen: https://sgx.geodatenzentrum.de/web_public/gdz/datenquellen/Datenquellen_TopPlusOpen.html

Für die Richtigkeit und Aktualität der Angaben wird keine Gewähr übernommen. Erstellt 07/2022.